



RENIECYT - LATINDEX - Research Gate - DULCINEA - CLASE - Sudoc - HISPANA - SHERPA UNIVERSIA - E-Revistas - Google Scholar
DOI - REDIB - Mendeley - DIALNET - ROAD - ORCID

Title: Sistema de cifrado parcial dinámico para imágenes digitales

Authors: RODRIGUEZ-CARDONA, Gustavo, RAMIREZ-BELTRAN, Leonardo Humberto y
RAMIREZ-TORRES, Marco Tulio.

Editorial label ECORFAN: 607-8695
BCIERMMI Control Number: 2019-031
BCIERMMI Classification (2019): 241019-031

Pages: 12
RNA: 03-2010-032610115700-14

ECORFAN-México, S.C.
143 – 50 Itzopan Street
La Florida, Ecatepec Municipality
Mexico State, 55120 Zipcode
Phone: +52 1 55 6159 2296
Skype: ecorfan-mexico.s.c.
E-mail: contacto@ecorfan.org
Facebook: ECORFAN-México S. C.
Twitter: @EcorfanC

www.ecorfan.org

Holdings

Mexico	Colombia	Guatemala
Bolivia	Cameroon	Democratic
Spain	El Salvador	Republic
Ecuador	Taiwan	of Congo
Peru	Paraguay	Nicaragua

Introducción

Fundamentos

Desarrollo

Resultados

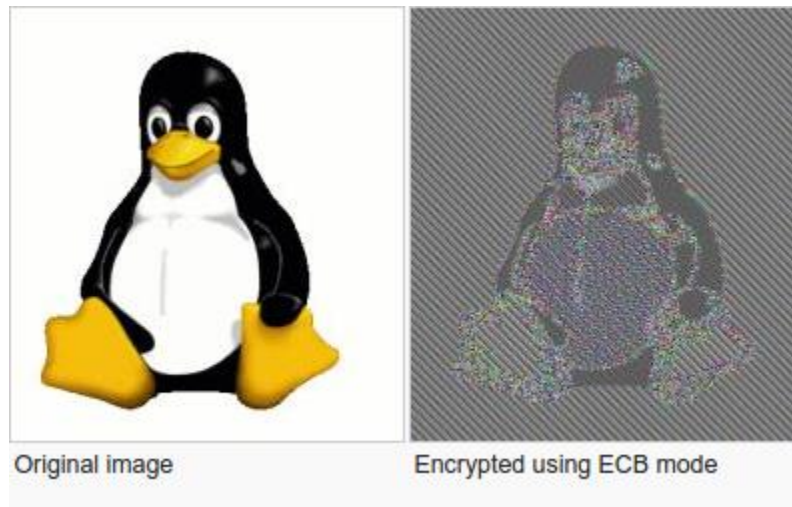
Conclusiones

Introducción

Día a día en nuestra vida es más común que podamos realizar más operaciones vía internet, facilitando así los procesos y optimizando los tiempos. Sin embargo, esto conlleva a que los usuarios requieran más seguridad y protección en la transmisión de datos personales, ya que dichos archivos se encuentran expuestos en los enlaces de transmisión.

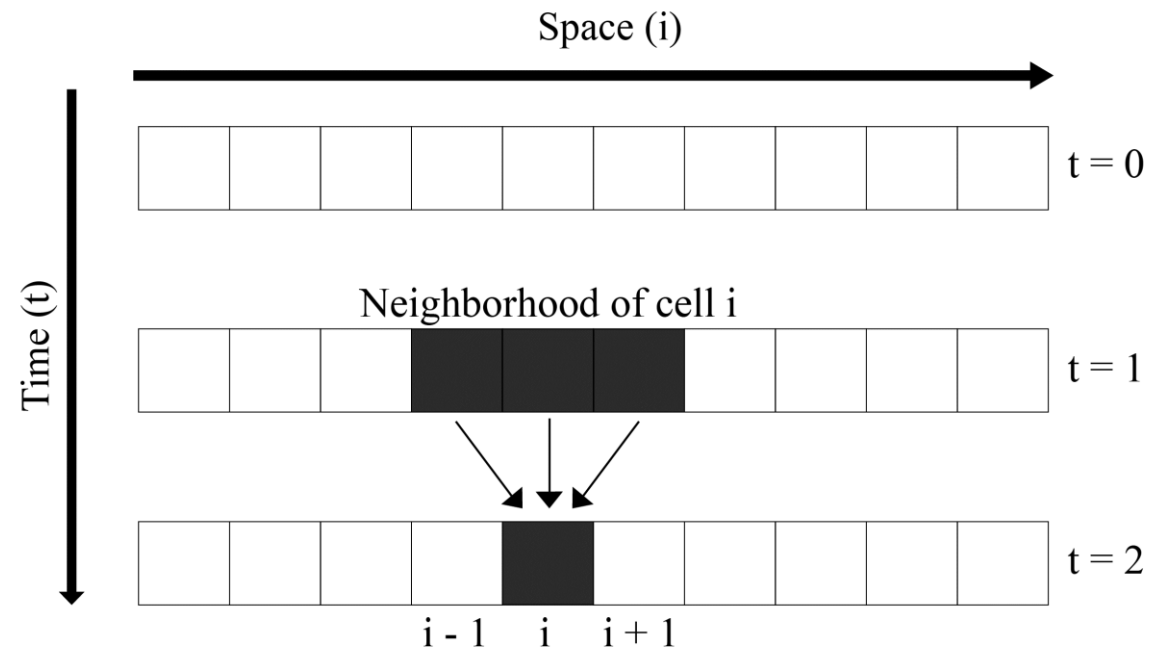


En la actualidad, el cifrado de imágenes es un área de investigación muy activa debido a las múltiples tareas donde se requiere, por ejemplo: videoconferencias, comunicaciones satelitales, video vigilancia, sistemas de imagen médica, entre otras. A pesar de que ya se cuenta con varios algoritmos de cifrado convencionales, como lo son AES y DES han resultado en muchas ocasiones imprácticos.



Autómatas celulares

Los autómatas celulares consisten en un conjunto ordenado de celdas, en forma de rejilla, donde cada celda tiene un número finito de estados. Los autómatas celulares forman una rejilla de dos dimensiones donde sus celdas evolucionan en pasos discretos, acorde a una regla local.

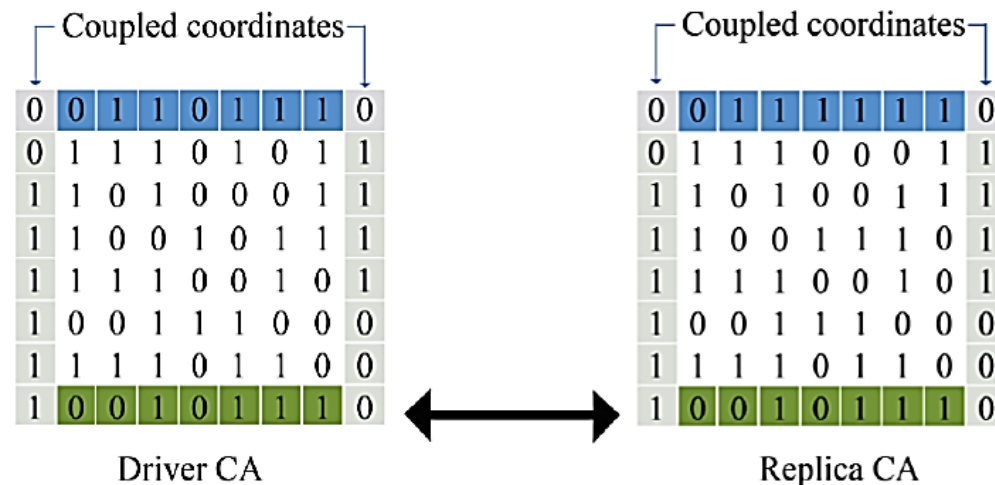


Regla 90 y fenómeno de sincronización

La regla local 90 es descrita por la expresión de la ec.:

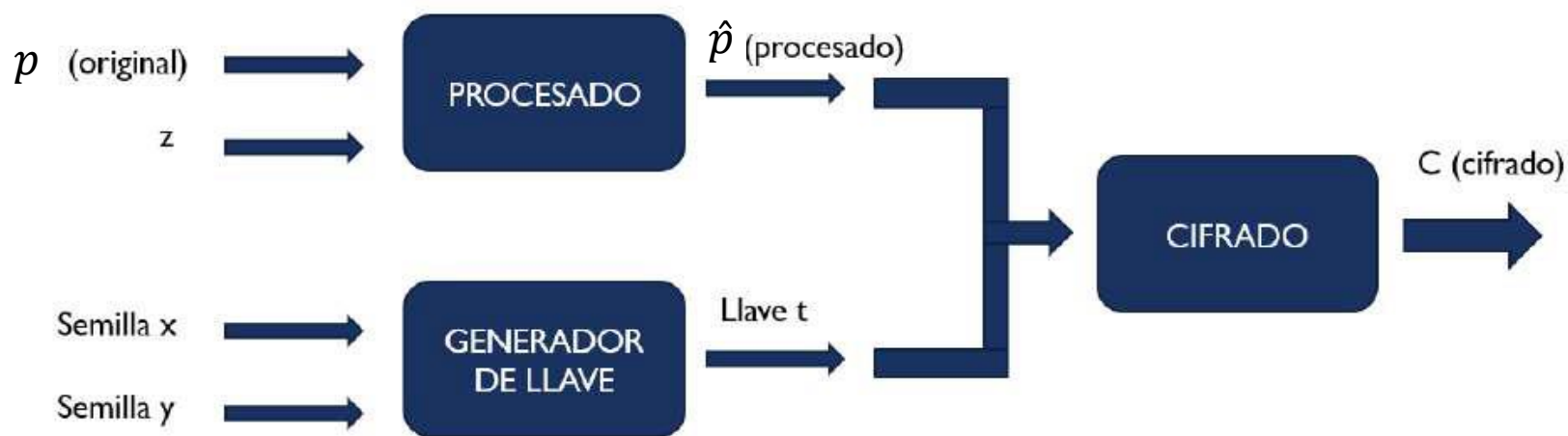
$$X_i^{t+1} = (X_{i-1}^t + X_{i+1}^t) \bmod 2$$

El acoplamiento de autómatas celulares se produce cuando un conjunto dado de coordenadas (coordenadas acopladas) se copian de uno de los sistemas que es el autómata celular conocido como controlador, en el sistema que será denominado réplica.



Sistema ESAC

El sistema de Encriptación por Sincronización con Autómatas Celulares (ESAC). Es un cifrador simétrico que encripta bloques de $2^k - 1$ bits, utilizando para cada bloque una subllave generada a partir de una llave inicial



Sistema ESAC (Ecuaciones)

Ecuaciones para generar la llave secreta \mathbf{t}

$$t_1 = x_1 + y_2$$

$$t_2 = x_2 + y_1 + y_3$$

$$t_3 = x_1 + x_3 + y_4$$

$$t_4 = x_4 + y_1 + y_3 + y_5$$

$$t_5 = x_1 + x_3 + x_5 + y_2 + y_6$$

$$t_6 = x_2 + x_6 + y_1 + y_5 + y_6$$

$$t_7 = x_1 + x_5 + x_7 + y_8$$

$$t_8 = x_8 + y_1 + y_5 + y_7 + y_9$$

$$t_9 = x_1 + x_5 + x_7 + x_9 + y_2 + y_6 + y_{10}$$

$$t_{10} = x_2 + x_6 + x_{10} + y_1 + y_3 + y_5 + y_9 + y_{11}$$

$$t_{11} = x_1 + x_3 + x_5 + x_9 + x_{11} + y_4 + y_{12}$$

$$t_{12} = x_4 + x_{12} + y_1 + y_3 + y_9 + y_{11} + y_{13}$$

$$t_{13} = x_1 + x_3 + x_9 + x_{11} + x_{13} + y_2 + y_{10} + y_{14}$$

$$t_{14} = x_2 + x_{10} + x_{14} + y_1 + y_9 + y_{13} + y_{15}$$

$$t_{15} = x_1 + x_9 + x_{13} + x_{15} + y_{16}$$

Donde \mathbf{t} es la llave secreta, \mathbf{x} equivale semilla inicial, y \mathbf{y} equivale a semilla inicial

Ecuaciones de procesado

$$\widehat{p}_1 = p_1 \oplus z_2$$

$$\widehat{p}_2 = p_2 \oplus z_1 \oplus z_3$$

$$\widehat{p}_3 = p_1 \oplus p_3 \oplus z_4$$

$$\widehat{p}_4 = p_4 \oplus z_1 \oplus z_3 \oplus z_5$$

$$\widehat{p}_5 = p_1 \oplus p_3 \oplus p_5 \oplus z_2 \oplus z_6$$

$$\widehat{p}_6 = p_2 \oplus p_6 \oplus z_1 \oplus z_5 \oplus z_7$$

$$\widehat{p}_7 = p_1 \oplus p_5 \oplus p_7 \oplus z_8$$

$$\widehat{p}_8 = p_8 \oplus z_1 \oplus z_5 \oplus z_7 \oplus z_9$$

Donde \mathbf{p} es el texto en claro, $\widehat{\mathbf{p}}$ equivale al texto procesado, y \mathbf{z} es un vector de $n+1$ bits.

Ecuaciones de cifrado

$$c_1 = t_1 \oplus t_9 \oplus t_{13} \oplus t_{15} \oplus \widehat{p}_1$$

$$c_2 = t_2 \oplus t_{10} \oplus t_{14} \oplus \widehat{p}_2$$

$$c_3 = t_3 \oplus t_{11} \oplus t_{15} \oplus \widehat{p}_1 \oplus \widehat{p}_3$$

$$c_4 = t_4 \oplus t_{12} \oplus \widehat{p}_4$$

$$c_5 = t_5 \oplus t_{13} \oplus \widehat{p}_3 \oplus \widehat{p}_5$$

$$c_6 = t_6 \oplus t_{14} \oplus \widehat{p}_2 \oplus \widehat{p}_6$$

$$c_7 = t_7 \oplus t_{15} \oplus \widehat{p}_1 \oplus \widehat{p}_3 \oplus \widehat{p}_5 \oplus \widehat{p}_7$$

$$c_8 = t_8 \oplus \widehat{p}_8$$

Donde \mathbf{t} es la llave secreta, $\widehat{\mathbf{p}}$ equivale al texto procesado, y \mathbf{c} equivale al texto cifrado

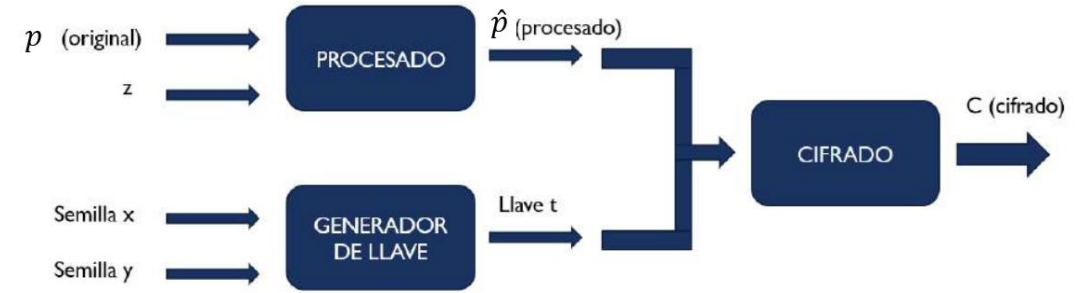
Sistema de cifrado parcial

Para evitar una alta latencia en el sistema de cifrado, una opción es utilizar algoritmos de cifrado parcial. Este tipo de cifrado consiste en que solo una cantidad específica de bits del bloque de texto en claro son cifrados, mientras que el resto se mantienen inalterados

Por lo tanto desarrollamos 8 algoritmos de cifrado parcial

Versión	Bits Cifrados
1	c1 , c2, c3
2	c2 , c3, c4
3	c3 , c4, c5
4	c4 , c5, c6
5	c5 , c6, c7
6	c6 , c7, c8
7	c7 , c8, c1
8	c8 , c1, c2

Algoritmo de cifrado parcial



- 1.- Primero se selecciona la imagen a cifrar.
- 2.- Se elige la secuencia de la versión de cifrado tomada de la Tabla 1 de 8 combinaciones.
- 3.- Se obtiene el pixel como bloque de texto en claro p .
- 4.- Después se realiza el procesamiento p con el vector z para obtener \hat{p} .
- 5.- Se genera la llave t haciendo uso de las ecuaciones (2).
- 6.- Se cifran los 3 bits de la imagen de acuerdo a la versión de cifrado en turno.
- 7.- Se cambia de versión de cifrado y se repite del paso 2 al 6 hasta cifrar toda la imagen.
- 8.- Se obtiene la imagen cifrada.



Resultados

Análisis de histogramas y cálculo de correlación

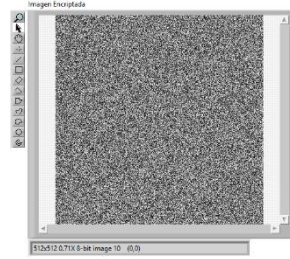
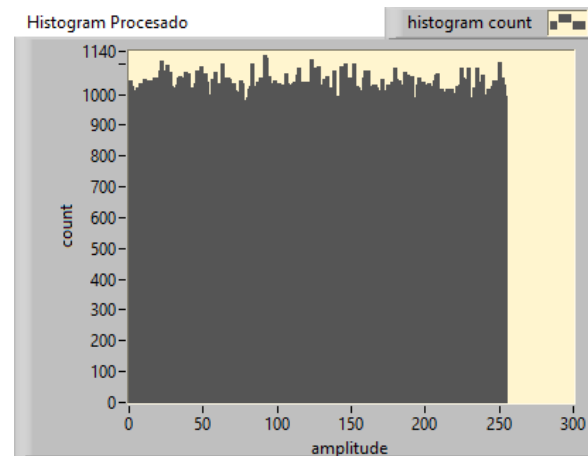
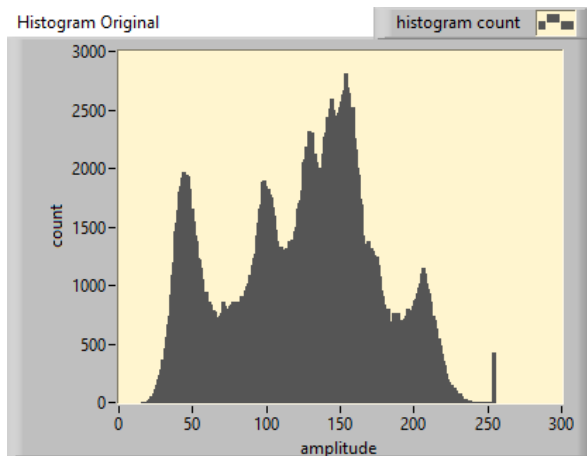
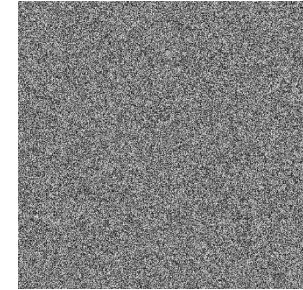
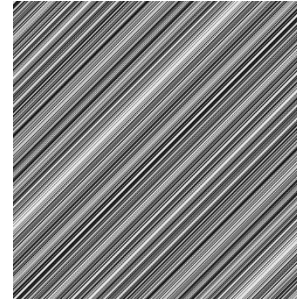
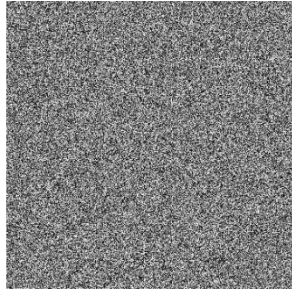


Imagen	Correlación
Lena	0.0001186
Mandril	0.0001540
Pimientos	0.0016889

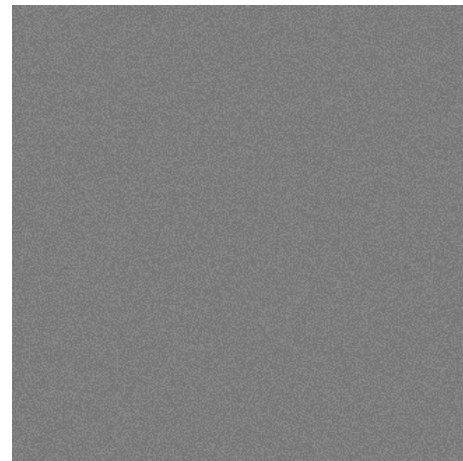


Resultados

Chosen plain-text attack



Replacement attack



Conclusiones

- En el presente trabajo se propuso un sistema de cifrado parcial dinámico para imágenes digitales, que fue capaz de ofrecer seguridad criptográfica y perceptual. Haciendo uso de la sincronización de autómatas celulares y la regla local 90, para cifrar de mejor manera esta información. Se llevaron a cabo diferentes pruebas estadísticas y de criptoanálisis las cuales el algoritmo propuesto pasó de forma exitosa cada una de ellas. Por lo cual este algoritmo puede ser implementado en el cifrado de información importante.



ECORFAN®

© ECORFAN-Mexico, S.C.

No part of this document covered by the Federal Copyright Law may be reproduced, transmitted or used in any form or medium, whether graphic, electronic or mechanical, including but not limited to the following: Citations in articles and comments Bibliographical, compilation of radio or electronic journalistic data. For the effects of articles 13, 162,163 fraction I, 164 fraction I, 168, 169,209 fraction III and other relative of the Federal Law of Copyright. Violations: Be forced to prosecute under Mexican copyright law. The use of general descriptive names, registered names, trademarks, in this publication do not imply, uniformly in the absence of a specific statement, that such names are exempt from the relevant protector in laws and regulations of Mexico and therefore free for General use of the international scientific community. BCIERMMI is part of the media of ECORFAN-Mexico, S.C., E: 94-443.F: 008- (www.ecorfan.org/ booklets)